

## Mo 첨가가 $\text{Al}_2\text{O}_3$ 세라믹스의 미세구조 및 기계적 성질에 미치는 영향

박정현 · 문성환 · 백승수 · 정동익

연세대학교 유토공학과

(1988년 2월 20일 접수)

## Effects of Mo Addition on the Microstructures and Mechanical Properties of $\text{Al}_2\text{O}_3$ Ceramics

Jeong-Hyun Park, Sung-Whan Moon, Seung-Su Paek and Dong-Ik Cheong

Dept. of Ceram. Eng., Yonsei University

(Received February 20, 1988)

### 요약

Mo 입자의 첨가가  $\text{Al}_2\text{O}_3$  세라믹스의 미세구조와 기계적 성질에 미치는 영향을 알아보기 위하여 평균입경이  $2-\mu\text{m}$ 인 Mo 와  $6-\mu\text{m}$ 인 Mo 를  $\text{Al}_2\text{O}_3$  에 각각 분산시켜  $1600^\circ\text{C}$ ,  $\text{H}_2$  분위기에서 5시간 소결하였다. Mo 는  $\text{Al}_2\text{O}_3$  의 입자성장을 억제시켰으며 Mo 의 입자가 작을 때 그 효과는 크게 나타났다.  $2-\mu\text{m}$  Mo 를 분산한 경우 쪽임강도와 파괴인성을 크게 증가하였으며,  $6-\mu\text{m}$  Mo 를 분산한 경우 강도는 증가하지 않았으나 파괴인성을 다소 증가하였다.  $\text{Al}_2\text{O}_3$ -Mo 계의 인성증진기구는 균열편향에 의한 파단면의 증가와 미세균열에 의한 균열전파에너지의 분산에 의한 것으로 보인다.

### ABSTRACT

To investigate the effects of Mo addition on the microstructures and mechanical properties of  $\text{Al}_2\text{O}_3$  ceramics, two kinds of Mo particles with average sizes of  $2-\mu\text{m}$  and  $6-\mu\text{m}$  were used as additives. It was shown that Mo particles inhibited the grain growth of  $\text{Al}_2\text{O}_3$ , and the smaller Mo particles were more effective. In case of  $2-\mu\text{m}$  Mo dispersion, the bending strength and the fracture toughness were increased. Dispersion of  $6-\mu\text{m}$  Mo did not increase the strength but improved the fracture toughness a little. The toughening mechanisms of  $\text{Al}_2\text{O}_3$ -Mo composites are thought to be the crack deflection and microcracking mechanisms.

### 1. 서 론

요업체의 모상에 금속입자나 금속섬유를 분산시킨 복합체는 일반적으로 충수한 요업체에 비해 전성, 파괴인성, 인장강도, 열충격저항성 등의 기계적 성질이

우수하다.<sup>1,2,3)</sup> 복합재료에서의 파괴에너지의 증가는 균열편향,<sup>4)</sup> 응력유기 미세균열,<sup>5,6)</sup> 그리고 상전이<sup>7)</sup> 등 여러 가지 기구에 의한다. 경량의 방탄재료로써 여러 가지 복합체의 개발이 시도되었으며, 용융온도가  $2610^\circ\text{C}$ 이며, 고강도, 고인성의 Mo 를  $\text{Al}_2\text{O}_3$  에 분산

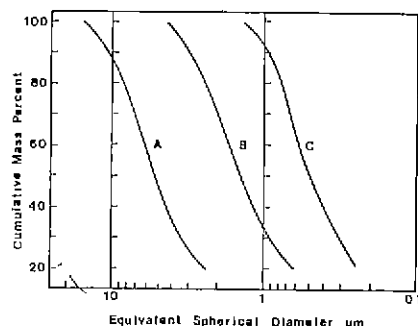


Fig. 1. Particle size distributions of the starting materials.  
A : 6- $\mu\text{m}$  Mo B : 2- $\mu\text{m}$  Mo C :  $\text{Al}_2\text{O}_3$

시킨  $\text{Al}_2\text{O}_3$ -Mo계는 이러한 복합체들의 간편한 모델로서 연구되었다.<sup>1,2)</sup> Machugh 등<sup>3)</sup>은 상압소결시 Mo가  $\text{Al}_2\text{O}_3$ 의 재결정화를 억제하며 껍질강도를 증가시킴을 보고하였다. Rankin<sup>4)</sup> 등은  $\text{Al}_2\text{O}_3$ 에 Mo를 분산시켜 고온프레스 하였을 때 파괴에너지가  $\text{Al}_2\text{O}_3$  단위에 대하여 50% 증가되었으나 Mo에 의한  $\text{Al}_2\text{O}_3$  입자성장의 억제는 관찰되지 않았다고 보고하였다. 그러나 지금까지의 연구에서는 분산된 Mo의 크기에 대한 영향과 인성증진기구에 대한 고찰이 미흡하였기 때문에 본 연구에서는 고준도의 AES-11C  $\text{Al}_2\text{O}_3$ 를 모상으로 하여 평균입자크기가 6- $\mu\text{m}$ 인 Mo와 2- $\mu\text{m}$ 인 Mo를 각각 분산시켰을 때 Mo가  $\text{Al}_2\text{O}_3$ 의 미세구조와 기계적성질에 미치는 영향 및 복합체의 인성증진기구에 대해 고찰하였다.

## 2. 실험

### 2.1 원료

분산물질로 사용한 Mo 분말은 순도 99.9%, 평균입경이 6- $\mu\text{m}$ 과 2- $\mu\text{m}$ 인 두 가지를 사용하였고,  $\text{Al}_2\text{O}_3$ 의 출발물질로는 순도 99.9%, 평균입경 0.47  $\mu\text{m}$ 인 AES-11C  $\text{Al}_2\text{O}_3$ 를 사용하였으나 그 화학성분은 Table 1과 같다. 출발물질의 입도분석은 자동입도분

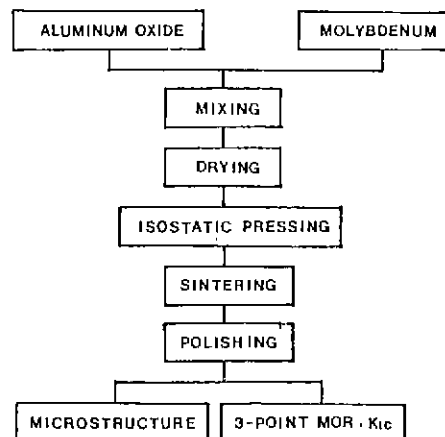


Fig. 2. Experimental procedure.

석기(micromeritics sedigraph 5000 ET)에 의해 행하였으며 그 결과를 Fig. 1에 나타내었다.

### 2.2 시편의 제작

Fig. 2에 본 실험의 대략의 공정도를 나타내었다.  $\text{Al}_2\text{O}_3$ 에 6- $\mu\text{m}$  Mo와 2- $\mu\text{m}$  Mo를 각각 2, 5, 7.5, 10 v/o 첨가하여 ethanol를 매체로 습식혼합하였다. 전조된 혼합분말은 20,000 psi의 압력으로 정수압성형하였다. 성형체의 소결은 Super Kanthal 밀열체를 사용한 분위기로 하였으며, Mo 출발물질 표면산화층의 환원과 소결시 Mo의 산화방지, 그리고  $\text{Al}_2\text{O}_3$ 의 소결촉진을 위하여 수소분위기를 사용하였다. 증온속도는 250 °C/hr로 하였으며 1600 °C에서 2시간과 5시간 유지하였다. 소결시편은 상온까지 수소기체를 출리며 냉각하였다.

### 2.3 측정 및 미세구조

#### 2.3.1 밀도

밀도는 ASTM 373-72에 준하여 측정하였으며 상대밀도는 이론밀도와 결보기 밀도의 비로 나타내었다.

#### 2.3.2 껍질강도

각 조성의 막대형 소결시편은 SiC 연마지로 # 120 ~ # 1200의 순으로 연마하고 모서리를 둥글게 하여 diamond paste # 100000으로 최종 연마하였다. 연마한 시편은 Instron(Model 4204, Instron사, U. S. A.)을 사용하여 3점 껍질시험을 하였으며 하중 500 kg, 하중 하강속도 0.5 mm/min., span 거리 25 mm로 고정하였다.

#### 2.3.3 파괴인성

파괴인성은 껍질강도 측정후의 시편으로 Vicker's 경도시험기를 사용하여 10 kg 하중으로 10초간 압인

Table 1. Chemical Compositions of the AES-11C Aluminum Oxide.

Component	$\text{Al}_2\text{O}_3$	$\text{MgO}$	$\text{Na}_2\text{O}$	$\text{SiO}_2$	$\text{Fe}_2\text{O}_3$	$\text{H}_2\text{O}$	L.O.I
wt %	99.9	0.04	0.03	0.04	0.01	0.1	0.1

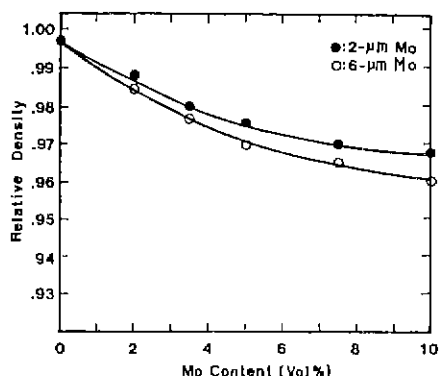


Fig. 3. Relative densities of  $\text{Al}_2\text{O}_3$ /Mo composites as a function of Mo content.

한 후 Evans<sup>12)</sup> 등이 제안한 식에 의하여 계산하였다.

### 2. 3, 4 미세구조

소결체에서의 Mo 분산상태 및 균열 전파형태 등은 압인후에 산화되 하지 않은 상태로 광학현미경으로 관찰하였으며, 소결체의 결정립 크기, 파단면의 형태 등은  $K_{IC}$  측정후의 시편을 풀이 인사에서 90초간 산화하여 SEM으로 관찰하였다.

## 3. 결과 및 고찰

### 3.1 밀도 및 미세구조

Fig. 3에는  $\text{Al}_2\text{O}_3$ /2- $\mu\text{m}$  Mo 복합체와  $\text{Al}_2\text{O}_3$ /6- $\mu\text{m}$  Mo 복합체를 1600 °C, 5시간 상압소결한 시편의 상

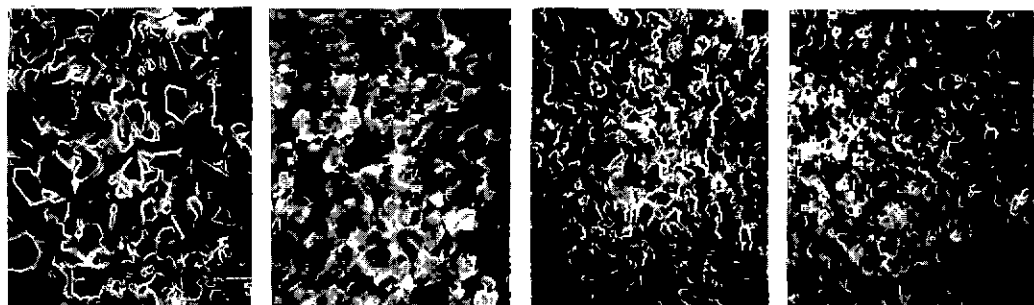


Fig. 4. Microstructures of  $\text{Al}_2\text{O}_3$  and  $\text{Al}_2\text{O}_3$ /6- $\mu\text{m}$  Mo composites.

A :  $\text{Al}_2\text{O}_3$  only, B : 2 v/o Mo, C : 5 v/o Mo, D : 7.5 v/o Mo.

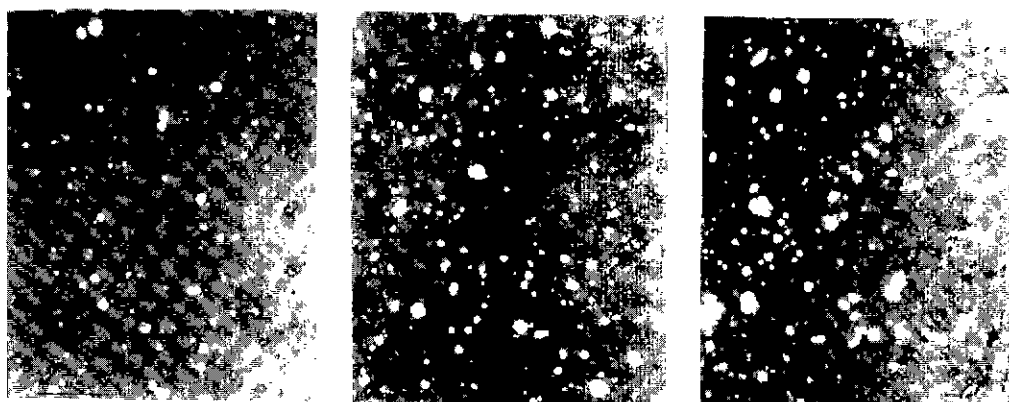


Fig. 5. Microstructures of the unetched  $\text{Al}_2\text{O}_3$ /2- $\mu\text{m}$  Mo composites.

(White spots are Mo) A : 2 v/o Mo, B : 5 v/o Mo, C : 7.5 v/o Mo.

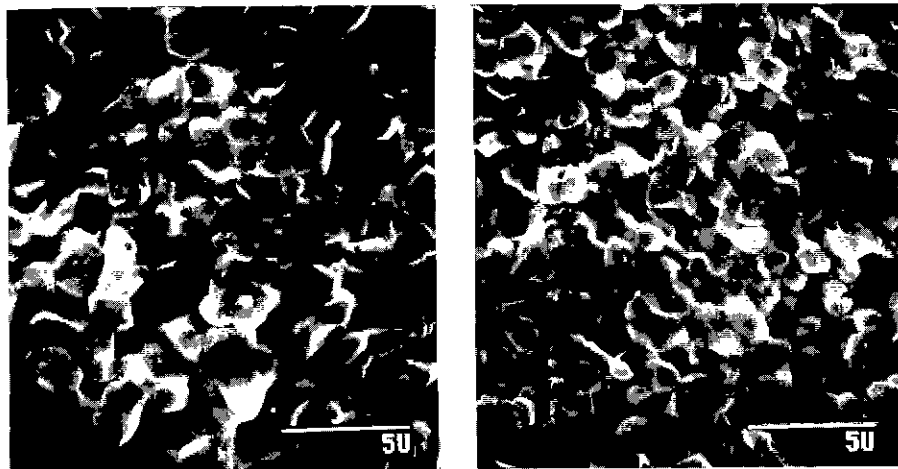


Fig. 6. Fracture surfaces of  $\text{Al}_2\text{O}_3$ /5 v/o Mo composites.  
A : 6- $\mu\text{m}$  Mo, B : 2- $\mu\text{m}$  Mo.

매밀도를 첨가된 Mo의 함량에 따라서 나타내었다. 두 경우 모두  $\text{Al}_2\text{O}_3$  단면에 비해 Mo의 첨가량이 증가할수록, Mo의 크기가 클수록 상대밀도가 저하하는 경향을 보이고 있다. Fig. 4는  $\text{Al}_2\text{O}_3$  단면과  $\text{Al}_2\text{O}_3$ /6- $\mu\text{m}$  Mo 복합체를 1600 °C, 2시간 소결한 시편의 SEM 사진으로서 복합체의 경우  $\text{Al}_2\text{O}_3$  단면에 비해 고립기공의 크기가 큼을 알 수 있다. Bolling<sup>13)</sup>은 이러한 기공 크기의 차이가 성형체에 있어서의 초기기공의 크기분포 차이에 의하거나 원통형 연속기공이 고립기공으로 전이시 작은 기공들의 합체에 의해서 일어날 수 있다고 하였다. 또한 Mchugh<sup>14)</sup>는 Mo 입자가 원통형 연속기공의 수축을 방해하여 고립기공으로 전이할 때 기공이 커질 수 있다고 하였다. 그럴경우 복합체의 치밀화속도는  $\text{Al}_2\text{O}_3$  단면에 비해 충분히 느릴 것으로 생각되며 이러한 현상은 Mo 함량이 증가함에 따라 커질 것으로 생각할 수 있다. Zener<sup>15)</sup>는 소결체의 한계입자크기에 대한 2차상 분산효과에 대하여 다음식을 제안하였다.

$$G_L = K \cdot r / f$$

여기에서  $G_L$ 은 입자의 한계크기,  $r$ 은 분산된 구형입자의 반경,  $f$ 는 분산입자의 부피분율, 그리고  $K$ 는 초기입자크기 및 모상과 제2상의 제면에너지에 의존하는 상수이다. Fig. 4에서 알 수 있듯이 Mo 분산량의 증가로  $\text{Al}_2\text{O}_3$  입자크기는 점차 감소한다. Fig. 5는  $\text{Al}_2\text{O}_3$ /2- $\mu\text{m}$  Mo 복합체를 주소분위기 하에서 1600 °C, 5시간 소결한 시편을 살펴 놓지 않은 상태에서 광학현미경으로 관찰한 사진으로 Mo 함량의 증가에

따라 Mo 입자간의 합체현상을 보이고 있다. 이러한 합체는 Mo 입자크기의 증가를 초래하여 따라서 제2상 부피분율 증가에 따른 한계입자크기 감소효과를 상쇄시킬 것으로 생각된다. 사실상 Mo 가 5v/o 이상 첨가되었을 때 한계입자크기의 감소는 별로 나타나지 않았다.

Fig. 6은  $\text{Al}_2\text{O}_3$ /5 v/o 2- $\mu\text{m}$  Mo 복합체와  $\text{Al}_2\text{O}_3$ /5 v/o 6- $\mu\text{m}$  Mo 복합체를 1600 °C, 5시간 소결한 시편의 짹임강도 시험 후의 파단면 SEM 사진이다. 2- $\mu\text{m}$  Mo 가 6- $\mu\text{m}$  Mo 보다  $\text{Al}_2\text{O}_3$  입자성장을 더욱 억제시킬 수 있다. 두 경우 모두에서 입체파괴와 입내파괴를 관찰할 수 있으며 미세한 Mo 입자를 관찰할 수 있다.

### 3.2 짹임강도 및 파괴인성

제2상을 요업체 모상에 분산시킨 복합체에서의 인성증진기구로는 균열편향, 응력유기 미세균열, 상전이 등 여러가지가 있으며 이들은 개개로 혹은 복합적으로 작용할 수 있다. Fig. 7은  $\text{Al}_2\text{O}_3$ /5 v/o 2- $\mu\text{m}$  Mo 복합체를 10 kg의 하중으로 압인하였을 때 그 주위의 면형과 파괴형태를 나타낸 것으로 4개의 모퉁이로부터 날카로운 방사형 균열이 발생한 것이 보이며 제2상에 의한 균열의 휘어짐이 잘 나타나 있다. 복합체의 경우 소결온도로부터 냉각할 때 모상과 제2상의 열팽창의 차이로부터 제2상 입자 주위에 잔류응력이 발생한다는 것은 잘 알려진 사실이다.<sup>16)</sup> 무한히 큰  $\text{Al}_2\text{O}_3$  모상에 반경이 R인 하나의 구형 Mo 입자가 존재한다고 가정할 때의 대략적인 응력형태를 Fig. 8에 나타내었다. 이러한 응력분포 하에서는 접선방향 인장응력으

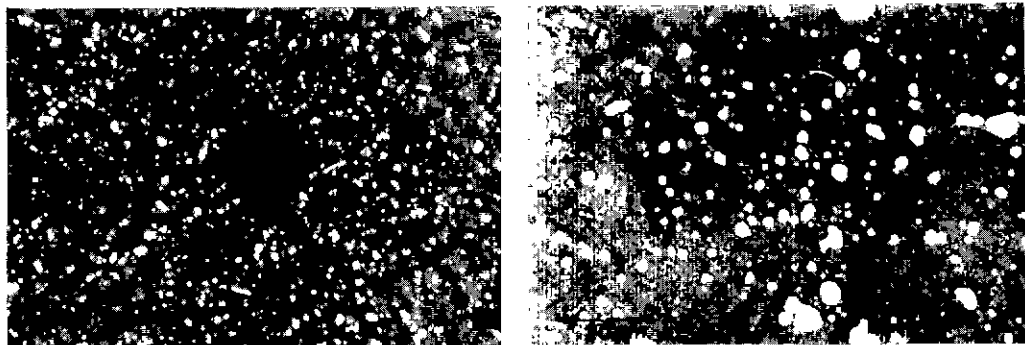


Fig. 7. Fracture around indentation for the  $\text{Al}_2\text{O}_3$ /5 v/o 2- $\mu\text{m}$  Mo composite.  
(Arrows are crack propagation direction and white spots are Mo).

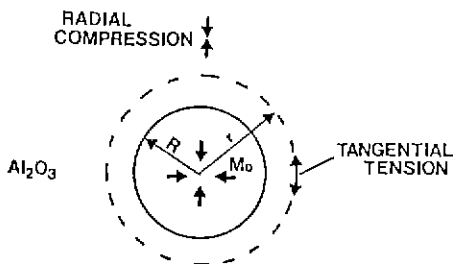


Fig. 8. Stresses in  $\text{Al}_2\text{O}_3$ /Mo composite (ref. 16).

로 인해 모상에는 Mo 입자를 중심으로 방사형 미세균열이 발생할 수 있으며, 자발적 미세균열을 발생시킬 수 있는 Mo의 임계크기는 Lange<sup>17)</sup>의 식에 의해 약 5.5  $\mu\text{m}$  입을 알 수 있다. Fig. 9에 1600 °C, 5시간 소결한 2- $\mu\text{m}$  Mo 복합체와 6- $\mu\text{m}$  Mo 복합체의 껀임강도 값을 Mo 분산량의 함수로서 나타내었다. 2- $\mu\text{m}$  Mo 복합체의 껀임강도는 Mo가 2 v/o 첨가된 경우 큰 증가를 보이며 5 v/o 이상에서는 약간씩 감소하는 경향을 보인다. 강도증가의 요인은 Mo 분산에 의한  $\text{Al}_2\text{O}_3$  입자크기의 감소로서 설명될 수 있다. 6- $\mu\text{m}$  Mo 복합체의 껀임강도는  $\text{Al}_2\text{O}_3$  단미와 비교해 볼 때 큰 증가가 없으며 단지 Mo가 5 v/o 일 때까지 단미의 강도값을 유지하고 있을 뿐이다. 그 이유는 Mo 첨가에 따른 상대밀도 값의 저하와 함께 맹자식 발생한 자발적 미세균열에 의해 강도의 증가가 없는 것으로 설명될 수 있다. Fig. 10은 2- $\mu\text{m}$  Mo 복합체와 6- $\mu\text{m}$  Mo 복합체의 파괴인성 값을 Mo 분산량의 함수로서 나타낸 것이다. 두 경우 모두 Mo 5 v/o 까지 파괴인성이 증가하며 그 이상의 첨가시 감소한다.

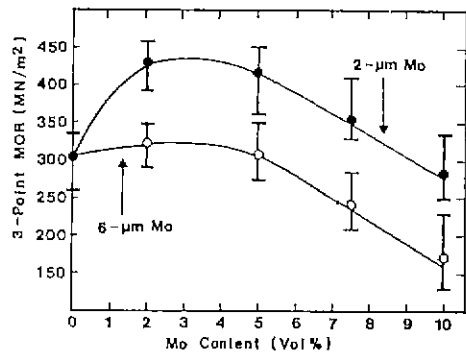


Fig. 9. Bending strength of the  $\text{Al}_2\text{O}_3$ /Mo composites as a function of Mo contents.

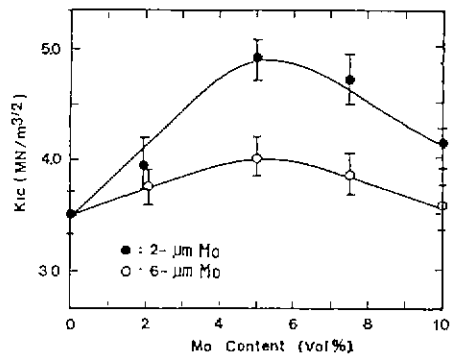


Fig. 10. Fracture toughness of the  $\text{Al}_2\text{O}_3$ /Mo composites as a function of Mo contents.

그러나 같은 5 v/o 일 때의 파괴인성 값은 2- $\mu\text{m}$  Mo의 경우가 크게 나타났다. Faber 등<sup>18)</sup>은 균열편향에 의한 인성증진에서 인성의 증가는 제 2상의 크기에는 무관하며, 단지 제 2상의 모양과 부피분율에만 의존한다고 하였다. 따라서 동일한 부피분율에서의 파괴인성

의 차이로 부터  $\text{Al}_2\text{O}_3$ -Mo 복합체의 인성증진 기구로는 균열편향 이외의 또다른 기구가 개체되어 있을 것으로 생각할 수 있으며, 이는 이상의 실험결과로 부터 미세균열에 의한 인성증진기구가 가장 타당하리라 생각된다. 균열편향과 미세균열은 일반적으로 정의 인성증진 효과를 가져오며 따라서 효과적으로 인성증진에 기여한 것으로 생각된다.

#### 4. 결 론

고순도의 AES-11C  $\text{Al}_2\text{O}_3$ 에 Mo를 2~10 v/o 분산시켜 1500 °C에서 5시간 소결시킨 결과 다음과 같은 결론을 얻었다.

5 v/o Mo 입자의 분산에 의해  $\text{Al}_2\text{O}_3$  입자성장을 효과적으로 억제시킬 수 있었다. 6- $\mu\text{m}$  Mo의 분산으로는  $\text{Al}_2\text{O}_3$ 의 강도와 파괴인성이 크게 증진되지 않았으나 2- $\mu\text{m}$  Mo의 분산으로 약 40%의 강도증진과 약 35%의 파괴인성 증진을 가져올 수 있었다.  $\text{Al}_2\text{O}_3$ -Mo 복합체의 인성증진은 균열편향에 의한 파단면의 증가와 미세균열에 의한 균열 전파에너지의 분산임을 알 수 있었다.

#### REFERENCES

1. L.A. Simpson and A. Wasylyshyn, "Fracture Energy of  $\text{Al}_2\text{O}_3$  Containing Mo Fibers", *J. Am. Ceram. Soc.*, **54**(1) 56-7 (1971).
2. J.W. McCauley, F. Schmid and D.J. Viechnicki, "Molybdenum-Reinforced Aluminum Oxide Single Crystal", *Am. Ceram. Soc. Bull.*, **58**(4) 474-75 (1979).
3. J.G. Zwissler and M.E. Fine, "Strength and Toughness of a Ceramic Reinforced with Metal Wires", *J. Am. Ceram. Soc.*, **60**(9) 390-96 (1977).
4. K.T. Faber, A.G. Evans and M.D. Drory, in "Fracture Mechanics of Ceramics", Vol.6, R.C. Bradt et al., eds., p.77-91, Plenum Press, New York (1983).
5. A.G. Evans and K.T. Faber, "Toughening of Ceramics by Circumferential Microcracking", *J. Am. Ceram. Soc.*, **64**(7) 394-98 (1981).
6. A.G. Evans and Y. Fu, "Induced Micro-cracking: Effects of Applied Stress", in "Fracture in Ceramic Materials", p.171-88, Noyes Publications, (1984).
7. A.G. Evans and A.H. Heuer, "REVIEW - Transformation Toughening in Ceramics: Martensitic Transformations in Crack-Tip Stress Fields", *J. Am. Ceram. Soc.*, **68**(5-6) 341-48 (1980).
8. C.O. Mchugh, T.J. Whalen and M. Humenik, Jr., "Dispersion Strengthened Aluminum Oxide", *ibid*, **49**(9) 486-91 (1966).
9. D.T. Rankin, J.J. Stiglich, D.R. Petrak and Robert Rub, "Hot-Pressing and Mechanical Properties of  $\text{Al}_2\text{O}_3$  with an Dispersed Phase", *ibid*, **54**(6) 278-81 (1971).
10. C.S. Morgan, A.J. Moorhead and R.J. Lauf, "Thermal-Shock Resistant Alumina-Metal insulators," *Am. Ceram. Soc. Bull.*, **61**(9) 974-76 (1982).
11. H.C. Miller, "Thermal Diffusivities of Molybdenum/Alumina Cermets", *J. Am. Ceram. Soc.*, **64**(8) C-136-38 (1981).
12. A.G. Evans, E.A. Charles, "Fracture Toughness Determination by Indentation", *ibid*, **59**(7-8) 371-72 (1976).
13. G.F. Bolling, "Remarks on Sintering Kinetics", *ibid*, **48**(3) 168-69 (1965).
14. C. Zener; Reported by J.E. Burke, in "Some Factors Affecting the Rate of Grain Growth in Metals [70:30 Brass]", Trans. AIME, **180**, 73-91 (1949).
15. J. Selsing, "Internal Stresses in Ceramics", *J. Am. Ceram. Soc.*, **44**(8) 419 (1961).
16. R.W. Rice, "Mechanisms of Toughening in Ceramic Matrix Composites", *Ceram. Eng. Sci. Proc.*, **2**(7-8) 661-701 (1981).
17. F.F. Lange, "Criteria for Crack Extension and Arrest in Residual, Localized Stress Field Associated with Second Phase Particles", in Fracture Mechanics of Ceramics, Plenum Press, New York and London, Vol. 2: p.599-609 (1974).